

201423016A

厚生労働科学研究費補助金  
肝炎等克服実用化研究事業  
(肝炎等克服緊急対策研究事業)

肝炎ウイルス特異的免疫賦活化による  
根治治療的ワクチンの開発に関する研究

平成 26 年度 総括・分担研究報告書

研究代表者 小原 道法

平成 27(2015)年 3 月

厚生労働科学研究費補助金  
肝炎等克服実用化研究事業  
(肝炎等克服緊急対策研究事業)

肝炎ウイルス特異的免疫賦活化による  
根治治療的ワクチンの開発に関する研究

平成 26 年度 総括・分担研究報告書

研究代表者 小原 道法

平成 27(2015)年 3 月

## 肝炎ウイルス特異的免疫賦活化による根治治療的ワクチンの 開発に関する研究

### 研究組織

<u>研究代表者</u>		
小原 道法	公益財団法人東京都医学総合研究所・ゲノム医科学研究分野・感染制御プロジェクト	シニア研究員
<u>研究分担者</u>		
保富 康宏	独立行政法人医薬基盤研究所・靈長類医学研究センター	センター長
小原 恒子	国立大学法人鹿児島大学・獣医学部・越境性動物疾病制御研究センター	教授・センター長
押海 裕之	国立大学法人北海道大学・人獣共通感染症リサーチセンター	准教授
鈴木 亮介	国立感染症研究所・ウイルス第二部	主任研究官

## 目次

### I. 総括研究報告

肝炎ウイルス特異的免疫賦活化による根治治療的ワクチンの開発に関する研究 小原 道法	-----1
--	--------

### II. 分担研究報告

#### 1. 慢性肝炎病態とワクチン治療効果の解析

小原 道法	-----9
-------	--------

#### 2. HCV 感染に対する治療用ワクチンに関する研究

保富 康宏	-----17
-------	---------

#### 3. ツパイ自然感染モデルでの発症・治療評価

小原 恒子	-----27
-------	---------

#### 4. 病態解析と細胞性免疫誘導能の高いアジュバントの開発

押海 裕之	-----30
-------	---------

#### 5. 中和活性を持つ抗 HCV EI モノクローナル抗体のエピトープ解析と中和

#### エピトープを有するウイルス粒子産生系の確立に関する研究

鈴木 亮介	-----33
-------	---------

### III. 研究成果の刊行に関する一覧表

### IV. 研究成果の刊行物・別刷

## I. 總括研究報告

厚生労働科学研究費補助金肝炎等克服実用化研究事業(肝炎等克服緊急対策研究事業)  
総括研究報告書(平成26年度)

肝炎ウイルス特異的免疫賦活化による根治治療的ワクチンの開発に関する研究

研究代表者:小原 道法 東京都医学総合研究所  
感染制御プロジェクト・シニア研究員

**研究要旨:**本研究ではC型肝炎ウイルス(HCV)感染者に対する特異的免疫賦活化による根治を目指した治療的ワクチンの開発を目的とする。HCVは感染することにより80%の被感染者が慢性化してしまうが、20%は慢性化せず自己の免疫によりウイルスを排除する。これらのこととは、免疫を賦活化することによりウイルスのコントロールができる可能性を示唆している。HCVによる持続感染化機構は十分に解明されていない。そこで、HCVによる宿主免疫抑制を回避し、特異的免疫賦活化による根治を目指す。

本研究では細胞性免疫を効果的に誘導できるDNAワクチンとHCV遺伝子組換えワクシニアワクチン(HCV-rVV)を組み合わせたPrime/Boostワクチンの手法を用いることで強力な治療効果が認められた。PrimeとBoostにおいて一部の遺伝子のみが重複するPrime/Boostワクチン接種方法が、全てのHCV遺伝子の重複するワクチンよりCTLの誘導およびHCV core蛋白の排除に非常に効果的であった。本発見について特許申請を行った(特願2014-229283)。さらにPrime/Boostワクチンに加えて、炎症を惹起しないアジュバントを併用し、より強力な治療効果の取得を目指す。また、ワクチンの効果を判定する動物モデルとして成獣のツバメにHCV genotype1b, 2a, 4aのウイルスを接種し6ヶ月程度経過を観察している。いずれの遺伝子型を接種したツバメにおいてもHCVの感染増殖が観察された。このC型肝炎モデル動物に治療ワクチンを用いることで、感染者における免疫反応の解析と治療効果の評価を行う。

HCV粒子構成蛋白質のみから構成される1回感染型HCV粒子(HCVtcp)の効率の良い産生系を確立することにより、ワクチンで誘導される抗体の各種遺伝子型HCVに対する中和抗体の探索及びエピトープの解析を進めた。幅広い遺伝子型のHCVに対して中和活性を有する抗体を探索したところ、1a,1b,2a,3aの複数の遺伝子型のHCVtcpに対して中和活性を示す抗E1モノクローナル抗体を見いだし、この抗体のエピトープ領域を同定した。

特異的免疫反応は一度誘導されれば長期にわたり効果が持続することから、少ない投与回数で効果の持続が期待でき、薬剤耐性や重篤な副作用の問題も克服できるものと期待される。

**研究分担者:**

保富康宏:独立行政法人医薬基盤研究所・  
靈長類医科学研究センター センター長  
小原恭子:鹿児島大学・共同獣医学部 教授  
押海裕之:北海道大学・大学院医学研究科  
講師  
鈴木亮介:国立感染症研究所・ウイルス第二  
部 主任研究官

**A. 研究目的**

C型肝炎ウイルス(HCV)感染者に対するインターフェロン治療は副作用等の問題も大きく、またB型肝炎ウイルス(HBV)は現在用いられている核酸アナログ製剤では根治が困難である。他方で、HCVは感染することにより80%の被感染者が慢性化してしまうが、20%は慢性

化せず自己の免疫によりウイルスを排除する。また、HBVに関しては、慢性化した成人において増悪化を契機に自己の免疫により排除する例が知られている。これらのこととは、免疫を賦活化することによりウイルスのコントロールができる可能性を示唆している。そこで本研究では肝炎ウイルス特異的免疫賦活化による根治を目指した治療的ワクチンの開発を目的とする。

本研究者らは、HCV遺伝子をスイッチング発現できる新規HCVトランスジェニックマウス(HCV Tgマウス)を樹立した。このHCV Tgマウス出生後の任意の時期のHCV蛋白質発現により、持続的なHCV蛋白発現と慢性肝炎発症を引き起こし、HCV感染患者で見られる病態推移を模倣していると考えられる。また、HCVを臓器特異的に発現してウイルスの直接作用も解析できる。よって、このHCV Tgマウスを用い、1)肝炎ウイルスに対する免疫寛容成立の機序と、2)免疫寛容の破綻、慢性肝炎の発症機序、ウイルスの直接作用を明らかにし、3)これらの知見を基に、治療ワクチンによる肝炎ウイルスの排除及び慢性肝炎発症抑制を目指した。

## B. 研究方法

### 研究代表者(小原道法)

Cre/loxPシステムでHCV遺伝子を導入したトランスジェニックマウス(Tgマウス)と、IFN誘導性にCreを発現するTgマウスを交配させる事で、任意の時期にHCV遺伝子(CN2-NS2)をスイッチング発現するTgマウスを作製した。このマウスはHCV蛋白質発現に伴う正常な免疫応答が発動することで急性肝炎を発症し、その後も持続的な炎症状態が続き、3-6ヶ月後にはC型慢性肝炎の病態(肝臓の索状構造の乱れ、脂肪化、グリコーゲンの蓄積、纖維化)を発症する。このC型肝炎モデルマウスに、天然痘に対するワクチン株であるLC16m8株にHCVの非構造領域(NS2-NS5B)を挿入した組換えワクチニアウイルス(rVV-N25)を接種

した。慢性肝炎の病態形成にTNF-a, IL-6の関与が示唆されたため、炎症性単球M1マクロファージ(M1Mφ)やM2マクロファージ(M2Mφ)の分布変化について解析した。

さらに、マクロファージ枯渇実験、抗IL-6受容体抗体によるIL-6シグナル阻害実験、PD-1抗体とrVV-N25のコンビネーション実験、DNAワクチンとrVV-N25のコンビネーション実験を進めた。

### 研究分担者(保富康宏)

#### (1) マウス

poly(I:C)を投与することで、任意の時期にHCV遺伝子を誘導発現できるトランスジェニック(HCV-Tg)マウス(CN2-29<sup>(+/-)</sup>/MxCre<sup>(+/-)</sup>, RzCN5-15<sup>(+/-)</sup>/MxCre<sup>(+/-)</sup>) (図 1A)、C57BL/6マウスを用いた。HCV-Tgマウスは poly(I:C)を投与後、HCV蛋白を3ヶ月間持続的に発現させた後に、実験に使用した。CN2-29<sup>(+/-)</sup>/MxCre<sup>(+/-)</sup>マウスは HCV遺伝子の一部を、RzCN5-15<sup>(+/-)</sup>/MxCre<sup>(+/-)</sup>マウスは全長をコードしている。

#### (2) HCV遺伝子発現ワクチンの作製

すべてのHCV遺伝子領域を含むpBMSF7CプラスミドベクターからPCR法と制限酵素反応を用いて、HCVの外殻蛋白領域(CoreE1E2NS2)あるいはHCVの複製に関与している非構造蛋白領域(NS2-5)の遺伝子領域をpCAGGSプラスミドベクターにそれぞれ組み込むことにより作製したHCV-DNAワクチン(CN2-DNA, N25-DNA)をそれぞれprimeワクチンとして使用した(図1A)。また、DNAワクチンに組み込んだ配列と同じ配列をワクシニアウイルスLC16m8株に組み込んだ組換えワクチニアウイルス(rVV)であるrVV-CN2およびrVV-N25をboostワクチンとして使用した(図1A)。

#### (3) 免疫方法

DNAワクチンをマウスの下腿部筋肉に投与後、エレクトロポレーション(50 V, 99 msec, 8 times)を2週毎に2回投与した。さらにboostと

してワクシニアウイルスをDNA投与完了後2週にワクシニアウイルスを皮内投与した。(図1B)。

(4) ELISPOT法による特異的細胞性免疫誘導能の測定

赤血球溶血処理を行った脾細胞( $1 \times 10^5$ )または、脾細胞を磁気ビーズ(Miltenyi Biotec)を用いて分離したCD8 $^{+}$ 、CD4 $^{+}$ 細胞のHCV抗原特異的IFN- $\gamma$ 産生細胞をELISPOT法により測定した。

#### (5) 肝臓の解析

ワクチンを投与した後、肝臓を回収し、肝臓組織抽出液の作製並びにホルマリン固定を行った。肝臓組織抽出液中の HCV コア蛋白質発現量は市販の HCV core ELISA アッセイキット(Xpress Bio)を用いて定量した。ホルマリン固定した肝臓片はパラフィン包埋後、組織切片を作製し、ヘマトキシリン・エオジン染色およびズダンブラック染色を行った。

#### (6) ワクチン投与マウスからの脾臓細胞移入実験

CN2-29 $^{(+/)}$ /MxCre $^{(+/)}$ マウスに prime/boost ワクチンを予め投与し、最後の投与から 2 週間に後に、脾臓を採取し、CD11c $^{+}$ 細胞を分離後、HCV-NS3 ペプチド(GAVQNEITL)を5時間パルスし、C57BL/6 もしくは CN2-29 $^{(+/)}$ /MxCre $^{(+/)}$ マウスの足蹠に投与( $2 \times 10^5$ cells)し、2 週後に脾臓中の HCV 抗原特異的 IFN- $\gamma$ 産生細胞について ELISPOT 法を用いて解析した(図5A)。

#### 研究分担者(小原恭子)

ツパイ肝臓から DNA を精製し、全ゲノムの配列を次世代シークエンサーで決定した。独自のプログラムを用いた相同性解析から、各遺伝子 ORF の配列を決定した。

生後約 1 年のツパイに HCV genotype 1a, 1b, 2a, 4a のウイルスを  $5 \times 10^4$ – $2 \times 10^8$  腹腔内に接種した。

また、免疫力の弱い新生児のツパイにも genotype 4a( $5 \times 10^4$ )の HCV を腹腔内に接種した。HCV の接種法は皮下接種も行い、比較し

た。HCV を接種したツパイは 2 週間おきに 0.5mL ずつ採血し、HCV-RNA 量を定量 PCR で測定すると共に、ALT 値を測定した。HCV 量の測定は定量 PCR で、ALT は測定キット(和光)を用いた。その後 2 週間隔で測定を継続している。

#### 研究分担者(押海裕之)

マウス肝細胞、樹状細胞は既報に準じて調整した。HCV 感染モデルマウスは小原博士より恵与を受けた。他の KO マウスは当研究室で樹立した。TLR3 アゴニスト(合成 RNA と polyI:C)は既報に調製法を記載した。

#### 研究分担者(鈴木亮介)

##### (1) 抗体および血清の中和活性の評価

HCV の E1 および E2 に反応するマウスモノクローナル抗体およびウサギ抗血清を遺伝子型の異なる複数の株由来の HCV エンベロープ蛋白質を持つ感染性 HCVtcp とそれ混和し、感染中和活性を評価した。

##### (2) 中和抗体のエピトープの同定

中和活性を示した抗体のエピトープを同定する為に、HCV JFH-1 株のエンベロープ蛋白質由来のアミノ酸配列をオーバーラップさせて合成した 20aa のペプチド鎖をプレートに固相化させ、抗体を反応させる事により抗体のエピトープを決定した。

##### (3) 中和エピトープを有するウイルス粒子の產生

同定されたエピトープ配列領域の遺伝子型 1b および 2a のアミノ酸配列を日本脳炎ウイルス(JEV)の E 蛋白質に挿入し、prM-E 領域を発現させる事により、HCV エピトープ配列を持った JEV subviral particle (SVP)を產生させた。

##### (4) ウィルス粒子と抗体の反応

HCV エピトープ配列を持ったウイルス粒子と HCV E1 抗体との結合は、ウイルス粒子と抗体を混合し、その後、AlexaFluor488 標識 2 次抗体を混合し、FCS-101B(浜松ホトニクス

- (株)で相関解析を行うに事より評価した。  
(5) HCV 中和エピトープを持つ SVP を分泌する細胞株の樹立と粒子の精製

HCV の E1 由来中和エピトープ配列を挿入した SVP と GFP をダイシストロニックに発現するレトロウイルスを作製し、293T 細胞に感染させて GFP 高発現細胞をソートする事により、SVP 高発現細胞株を樹立した。樹立した細胞を無血清培地で培養し、その上清から限外ろ過およびゲル濾過クロマトグラフィーを用いてウイルス粒子を精製した。

#### (6) ウィルス粒子の免疫

マウス(Balb/c、5週齢メス)に20 μgの抗原をアジュバント(Alum + CpG)とともに腹腔内免疫を開始した。2週おきに計3回免疫した後に、血清の中和活性を評価する計画である。

#### (倫理面への配慮)

患者由来の組織や血清の使用に当たっては各研究機関の倫理委員会において承認を受ける。提供者には「インフォームド・コンセント」を書面で行う。動物の管理は法律に従って行い、各研究機関の動物実験委員会の承認を得る。

### C. 研究結果

#### 研究代表者(小原道法)

肝細胞にHCV蛋白が発現後、約2年にわたり血清HCV coreの上昇が持続し、同時にALTの上昇を認めた。約90日後ではリンパ球の浸潤像、steatosisなどの慢性肝炎の所見を肝組織でみとめ、600日後では雄に有意に肝細胞癌が発症していた。

(1)慢性肝炎状態のHCV-Tg マウスにHCV遺伝子組換えワクシニアワクチンrVV-N25を単回皮内接種し、接種後のマウス肝臓を解析した。接種後、肝臓において壊死性細胞浸潤、肝細胞索の乱れ、肝細胞の膨化、グリコーゲン変性および脂肪変性といった慢性肝炎の病態の正常化が認められ、また肝臓内のHCV 蛋白の減少がみられた。

- (2)HCV蛋白の減少時にALT値の上昇やCTLなどによるHCV発現細胞の排除が認められなかつたことから、rVV-N25接種によるHCV 蛋白の制御には細胞死を伴わない蛋白排除機構が働いていることが示され、この機序の解析を進めている。  
(3)慢性肝炎マウスの肝臓内では一般的な急性炎症部位で多く見られるM1マクロファージではなく、慢性炎症部位に見られる炎症性サイトカイン(IL-6,TNF $\alpha$ )を発現するM2マクロファージが優位に存在している事を明らかにした。このM2マクロファージをクロドロネートで除去すると肝炎が沈静化した。このマウスにrVV-N25 を接種し、接種後の免疫細胞を解析したところ、肝臓におけるM2マクロファージが減少し、肝炎を沈静化する事が明らかとなつた。

#### 研究分担者(保富康宏)

- (1)C型肝炎モデルマウスを用いてHCV-DNAワクチンの治療効果の検討を行った。HCV蛋白を3ヶ月間持続的に発現させ、慢性肝炎を発症したHCV-TgマウスにHCV-DNAワクチンを投与し、HCV-N25投与群において肝臓中コア蛋白発現量が有意に減少していることを確認した。  
(2)HCV-DNAワクチンとワクシニアウイルスのprime/boostワクチン併用療法について、WTマウス、HCV-Tgマウスを用いた評価を行った。併用することにより、細胞性免疫反応が増強し、肝臓中コア蛋白発現量の減少が見られ、治療効果が上がることを確認した。  
(3) PrimeとBoostにおいて一部の遺伝子のみが重複するPrime/Boostワクチン接種方法が、全てのHCV遺伝子の重複するワクチンよりCTLの誘導およびHCV core蛋白の排除に非常に効果的であった。本発見について特許申請を行った(特願2014-229283)。  
(4) HCV全長遺伝子発現C型肝炎モデルマウスを用いた*in vivo*におけるHCV特異的細胞性免疫誘導能の評価

CN2-29<sup>(+/-)</sup>/MxCre<sup>(+/-)</sup>マウスを用いた場合と同様に、HCV の全長遺伝子をコードしている RzCN5-15<sup>(+/-)</sup>/MxCre<sup>(+/-)</sup>マウスにワクチンを投与し、脾臓細胞中の特異的 IFN- $\gamma$  産生能を測定した。CN2-29<sup>(+/-)</sup>/MxCre<sup>(+/-)</sup>マウスに投与した場合と異なり、prime/boost 法によるワクチン投与を行っても特異的細胞性免疫の増強は見られなかった。しかしながら、肝臓中のコア蛋白発現量は HCV-N25 ワクチン投与群に比べて、rVV-N25 投与群と prime/boost 投与群では有意に減少しており、形態学的検索においても prime/boost 群で改善が見られた。

#### 研究分担者(小原恭子)

成獣ツパイにHCVの各種遺伝子型(1a, 1b, 2a, 4a)株を接種した。いずれも感染が成立し、特に2aは最も高いウイルス価を示した。一方で、4aは最も頻回ウイルスの増殖を示した。そこで、新生児への感染は4a株を用いて行った。また、HCVを皮下接種する事で効率良く感染が成立しており、現在経過を観察している。これまでに、ツパイの全ゲノム解析から、ヒトと近いゲノム情報を持つ事が明らかとなった。また、マウスとは異なり、IFNI4遺伝子を持つ事も明らかとなった。HCV1a, 1b, 2a, 4aを感染させた成獣ツパイ肝臓での発現を解析したところ、2aを感染させた個体の肝臓において IFNI4遺伝子の発現が検出された。IFNI4は、マウスやラットは持たない事が知られており、ツパイがよりヒトに近い自然免疫系を持つ可能性が明らかとなった。

さらに、フランス松の樹液から作成された天然物であるピクノジュノールがHCVに抗ウイルス効果があり、特にプロテアーゼ阻害剤であるテラプレビル耐性のHCVにも抗ウイルス活性がある事を示した。

#### 研究分担者(押海裕之)

(1) HCV ワクチンに用いるTh1 優位アジュバントの化学合成に成功した。ヒト樹状細胞(BDCA3+DC, 抗原提示細胞)ではpolyI:C

(TLR3 agonist)が最善のTh1 極性を持つことが示されたが毒性(サイトカイン血症)の問題があつて棄却されている。毒性が極小のRNAアジュバントを開発するため多数の核酸アジュバントを化学合成した。その結果、非炎症性アジュバントARNAX (DNA/RNA hybrid)のデザインと完全化学合成に成功した。化学合成RNAアジュバントはTLR3特異的な(RIG-I/MDA5を活性化しない)構成にデザインした。KOマウス、担がんマウスの系でCTL誘導とNK活性化(IFN-g 産生)、腫瘍退縮が証明できた(Nat Commun 2014)。

(2)マウスを用いたワクチン治療効果の解析系の作製に成功した。OT-1 (CD8 T 細胞)との共培養系でCTL増殖を見る系を作製し、class I tetramer の入手可能な抗原(Survivin, OVA)でin vivoのTh1応答(CD4 Tの増殖)と抗原特異的CTL誘導を解析した。まず、polyI:Cで OT-1増殖、CD4.T の増殖がCpG, Pam2 より優位に発動した。また、NKにおいてもkilling そのものよりIFN-gなどがエフェクターになりうる。

#### 研究分担者(鈴木亮介)

(1)より適切なHCVの中和抗体の評価が可能な1回感染性トランスパッケージング型HCV粒子(HCVtcp)産生系を確立した。遺伝子型1a、1b、2a、3a由来の7株のエンベロープ蛋白質を用いてHCVtcpの産生に成功した。

(2)幅広い遺伝子型のHCVに対して中和活性を有する抗体を探査したところ、1a,1b,2a,3aの複数の遺伝子型のHCVtcpに対して中和活性を示す抗E1モノクローナル抗体を見いだし、この抗体のエピトープ領域を同定した。

(3)1b/E1 に対するモノクローナル抗体が 1a,1b,2a,3a を中和できるエピトープを同定した。この領域を標的とするパントロピックワクチンの可能性が開かれた。このエピトープ配列を日本脳炎ウイルス(JEV)のエンベロープ蛋白質中に挿入し、HCV中和エピトープを有する JEV subviral particle産生細胞株を樹立した。

## D. 考察

H26年度は計画通りに研究を実施した。得られた結果をさらに発展させ以下の研究を進める。

### 研究代表者(小原道法)

HCV感染による肝傷害と病態進行は、HCV特異的CD8T細胞を介した宿主免疫反応により進行すると考えられている。しかし我々の研究ではC型慢性肝炎は肝臓内マクロファージ(Mac)により產生されるTNF- $\alpha$ , IL-6を介することが示唆された。この違いを明らかにするために、C型慢性肝炎におけるMacの役割について明らかにした。HCV-Tgマウスの肝臓および脾臓ではCD11b $^+$ F4/80 $^+$  Macが増加しており、Macを枯渇することで肝臓の病態が正常化したことから、MacがC型慢性肝炎の原因であることを結論づけた。慢性肝炎を呈するHCV-Tgマウスの肝臓ではM1 Macではなく、M2 Mac数がおよそ10倍増加しており、高レベルのTNF  $\alpha$ , IL-6を產生していることを明らかにした。また、M2 Macは肝臓で限局的に増加していることが示唆された。

rVV-N25は肝臓内の炎症性サイトカインを产生するM2 Mac数を減少させるが、rVV-N25がどのように減少させるかについてはわかつていない。rVV-N25接種後のマクロファージの減少はアポトーシスの増加によるものではないことが分かった。C型慢性肝炎におけるM2 Mac数の増加とrVV-N25によるM2 Macの減少機序についてはさらに実験が必要とされる。

さらにrVV-N25によるウイルス抗原排除効果を上げるために、PD-1抗体による肝臓内T細胞免疫反応の活性化を試みた。HCV-Tgマウスを用いた実験から、PD-1抗体/rVV-N25との組合せによる肝臓内T細胞免疫反応の活性化は認められず、HCV-Tgマウスでは、PD-1抗体投与によるrVV-N25のウイルス抗原排除効果に影響しないことが示唆された。HCV

感染チンパンジーの報告でも、PD-1に無反応の個体も存在することが知られており、さらにPD-1抗体の投与をやめるとウイルスRNAが元に戻ることから、rVV-N25接種によるウイルス抗原排除効果を上げるさらなる試みが必要であると考えられる。

### 研究分担者(保富康宏)

HCV感染症は肝炎から、肝硬変、肝癌へと進行する慢性感染症疾患である。現在用いられている治療法においても治療効果を得られない患者は多く、新規の治療法、治療薬の開発は急務となっている。現在行われている手法ではPrimeとBoostを違うワクチンにより行う、Prime/Boostの手法が最も効果が高いと考えられている。この手法の利点は組み換えウイルス等のベクターに対する反応を考慮すること無く、追加接種できる点にある。これらの場合はいずれもワクチン抗原はPrimeとBoostで全く同じものが使用されるのが通常である。我々の結果はこの点において全く新しい知見を与えるものとなった。抗原の重複されるNS2に対する細胞性免疫の誘導が増強されたのはNS2のみが重複している場合のみであり、それ以外の部位は重複しない場合であった。これらの知見は他に報告されていないものであり、今後のこの機序の解明は他にも応用できる可能性を示した。

### 研究分担者(小原恭子)

ツパイの妊娠期間は40日程度であり、離乳までの期間が60日程度である。年間3-4回の繁殖が可能である。これから計算すると、1匹あたり、年間10-15匹の産子が得られる。調べた全てのHCV株に感染感受性を示したが、持続感染を成立させるためには、4a株の皮下接種が良いと考えられた。また、ツパイのHCV感染感受性系統を今後確立していく必要がある。

## 研究分担者(押海裕之)

IFN-1は IFN-a/bと異なり、樹状細胞の NK 細胞活性化能と cross-presentation 能を上げない(Okamoto JI 2014)。これに対し、polyI:C は IRF3 依存性に樹状細胞の細胞性免疫を起動する。従って、IFN-1より IRF3 を活性化する RNA アジュバントを開発し、TLR3 経路の活性化を目指すことを本開発の目標にした。

PolyI:C 投与の問題点は TLR3/TICAM-1 経路以外に MAVS 経路に働いて *in vivo* でサイトカイン血症を誘発することである(Seya, EOTT 2013)。マウスの polyI:C i.p. モデルでは IFN-a/b の他に IL-6, TNF- $\alpha$ , IL-10, が大量に出る。慢性肝炎にサイトカイン血症は重大な悪性因子となりうる(Kohara et al., PLoS ONE 2013)。一方、今回開発した RNA アジュバントは TLR3 を特異的に活性化し MAVS 経路は活性化しないためこの問題を克服している。マウスへの外用投与でサイトカイン血症を全く誘発せずに強力な CTL 増殖を可能にした(Nat Commun 2015)。

今後、ヒトへの外挿性を解析する必要があるが、基本的にマウスとヒトの TLR3 と RNA 認識機構は保存されているため、ヒトで再現データが取れることが期待される。

## 研究分担者(鈴木亮介)

HCV 中和エピトープ解析については E2 蛋白質について多く報告されているものの、E1 蛋白質の中和エピトープについては報告が少なく、我々が同定したエピトープ領域については未報告である。E1 蛋白質の HCV の感染初期過程における役割を明らかにする上でも、本結果は興味深い。

また、このエピトープに反応する抗体を効率良く誘導する抗原を調製する為に、中和エピトープ配列を持ったフラビウイルス粒子を 293T 細胞で発現させ、粒子の培養上清への分泌を確認した。中和活性を示したモノクローナル抗体は、遺伝子型 2a 由来の配列を挿入

した粒子には結合しなかったものの、遺伝子型 1b 由来の配列を挿入した粒子には結合した事から、少なくとも遺伝子型 1b のエピトープ配列は粒子の外側に露出していると考えられた。オーバーラッピングペプチドを用いたエピトープ解析では、用いた抗 E1 抗体は遺伝子型 2a 由来のペプチド配列にも強く結合が認められたため、1b と 2a の若干のアミノ酸配列の違いが粒子表面のペプチドの構造を変化させている可能性が考えられた。

現在、この抗原を精製してマウスに免疫しており、今後は中和活性を持つ抗体が誘導できるかどうかを評価する。

## E. 結論

肝臓内HCV蛋白の制御に関して、CTLなどによるHCV発現細胞の排除を検討するため、肝臓のHCV遺伝子のスイッチング効率およびHCVのmRNA量をTaqMan法により検索した。その結果、DNAレベルおよびRNAレベルとともにコントロールと差がなかった。このことから、rVV-N25接種によるHCV蛋白の制御には細胞死を伴わない蛋白排除機構が働いていることが示唆された。HCV-Tgマウスの肝臓では、M1 MacではなくM2 MacがIL-6, TNF- $\alpha$ などの炎症性サイトカインを産生する事でC型慢性肝炎を呈しており、M1 Macのような機能を持つM2 Macについての初めての知見が得られた。さらにrVV-N25は、炎症性サイトカイン産生M2 Macを減少させることで肝臓の病態を改善し、治療ワクチンとしての効果を発揮することが明らかとなった。

以上のことからHCV-rVVはHCVの排除及び肝炎正常化を目指した安全で効果的な治療ワクチンとして開発が期待される。

HCV の構造蛋白領域もしくは非構造蛋白領域を発現する DNA ワクチンと組み換えワクシニアウイルスを用いて一部領域が重複させた prime/boost ワクチン接種法は C 型肝炎モデルマウスを用いた実験の結果より、各ワクチ

ン単独投与に比べて、また同じ領域をコードする prime/boost の組み合わせに比べても治療用ワクチンの投与プロトコールとして更なる有用性がある可能性が示された。HCV-Tg マウス、特に HCV 全長遺伝子をコードさせたマウスにおける HCV に対する免疫抑制機構についての解析をさらに行い、prime/boost ワクチンの効果検討を進めていきたい。

TLR3/TICAM-1 特異アゴニストを開発し、HCV ワクチンにアジュバントとして適用することを目指した。毒性の少ない非炎症性アジュバントの開発が見込まれる。本アジュバントの成功は多くの感染症ワクチンに福音をもたらすかも知れない。

ツパイの飼育法も確立し、持続感染を成立できる HCV の株は 4a である事が明らかとなった。また、接種法は皮下が良い事も明らかとなった。HCV 感染に感受性が良い個体も存在し、これらを系統化する事で、より良い評価系の確立が可能となった。今後は、この様なツパイ HCV 持続感染系を用いてワクチンや薬剤候補物質の評価を行っていく予定である。

さらに、適切な HCV の中和抗体の評価が可能な1回感染性トランスパッケージング型 HCV 粒子(HCVtcp)産生系を用い、幅広い遺伝子型の HCV に対して中和活性を有する抗 E1 モノクローナル抗体を見いだした。この抗体のエピトープ領域を同定し、さらに遺伝子型 1b および 2a 由来のこのエピトープ配列を有する JEV SVP の产生に成功した。少なくとも遺伝子型 1b のエピトープを有する粒子については、エピトープ配列を粒子の外側に露出していると考えられ、抗体を誘導するワクチン抗原として期待できる。

## F. 健康危険情報

特になし  
なし

## G. 研究発表

- 論文発表  
各分担研究報告書を参照

## H. 知的所有権の出願・取得状況

- 特許取得  
各分担研究報告書を参照
- 実用新案登録  
なし
- その他

## II. 分担研究報告

厚生労働科学研究費補助金肝炎等克服実用化研究事業(肝炎等克服緊急対策研究事業)  
分担研究報告書(平成26年度)

慢性肝炎病態とワクチン治療効果の解析

研究分担者 小原道法 東京都医学総合研究所 感染制御プロジェクト シニア研究員

研究協力者 大槻貴博 東京都医学総合研究所 感染制御プロジェクト 研究員

**研究要旨:**C型肝炎ウイルス(HCV)の免疫学的病態解析および根治治療ワクチンの開発に向けて、病態進行に関与するHCVトランスジェニックマウス(Tgマウス)の肝臓内炎症性マクロファージ(Mac)について免疫学的解析を行い、HCV非構造蛋白質発現組換えワクシニアウイルス(rVV-N25)接種後の肝臓内MΦの動態を調べることでrVV-N25の作用機序解析を試みた。HCV-Tgマウスの肝臓内では同週齢のマウスと比べCD11b<sup>+</sup>F4/80<sup>+</sup>CD11c<sup>-</sup>CD206<sup>+</sup>のM2様マクロファージ(M2 Mac)数が増加しており、加えてM2M $\phi$ が主にIL-6, TNF- $\alpha$ 産生していることがわかった。rVV-N25接種により肝臓内炎症性サイトカイン産生M2 Mac数が減少し肝臓の病態を正常化した。これらの結果はM2Macにより產生された炎症性サイトカインがHCV-TgマウスにおいてC型慢性肝炎の誘導に寄与することを示唆している。さらにrVV-N25は肝臓内炎症性M2 Mac数を減少させることで肝臓の正常化に寄与することが示された。

**A. 研究目的**

HCV は感染後、慢性 C 型肝炎、肝硬変、肝細胞癌に進展する。近年効果的な抗ウイルス剤が開発されているが、現在までに根治治療的ワクチンはなく、開発が強く望まれている。慢性 C 型肝炎において Mac は IL-6、TNF- $\alpha$ などの炎症性サイトカインを产生し、病態進行に関与する事が知られている。我々は HCV-Tg マウスを用いた実験から、IL-6、TNF- $\alpha$ を产生する Mac が C 型慢性肝炎を引き起こしていること、さらに rVV-N25 が肝臓の Mac の活性化を抑制することで C 型慢性肝炎を改善し、CD4, CD8T 細胞依存的に肝臓内ウイルス抗原を排除することを報告してきた。これは rVV-N25 が免疫賦活化する事で C 型慢性肝炎に対する治療ワクチンとして働くことを示唆している。今回我々は病態進行に関与する HCV-Tg マウスの肝臓内炎症性 Mac について免疫学的解析を行い、rVV-N25 接種後の肝臓内 Mac を調べることで

rVV-N25 の作用機序解析を試みた。さらに C 型慢性肝炎下では免疫寛容状態になっておりウイルス特異的な CD8T 細胞が不活性化状態になっており PD-1 を高発現する CD8T 細胞による T-cell exhaustion と呼ばれる状態になっていることが報告されている。いくつかの論文では PD-1 抗体の投与により、この状態が打破され、本来の正常な免疫反応に戻ることが報告されている。そこで rVV-N25 と PD-1 抗体の組み合わせにより、さらなるウイルス抗原排除効果について検討を試みた。

**B. 研究方法**

(1) マウス

HCV-Tg マウス(CN2-29<sup>(+/-)</sup>/Mx1-Cre<sup>(+/-)</sup>)作製のために HCV 遺伝子を持つ R6CN2HCV-Tg マウス(CN2-29<sup>(+/-)</sup>)と、インターフェロン応答性に Cre を発現する MX1-Cre Tg マウスを交配させた。8 週齢の HCV-Tg マウスに poly(I:C)を 2 日毎に 3 回腹腔内

投与して HCV 遺伝子を誘導発現し、C 型慢性肝炎を呈する3ヶ月後に実験に使用した。同週齢マウス Non-Tg マウス (CN2-29<sup>(+/-)</sup>/MxCre<sup>(-/-)</sup>)も同様に poly(I:C)を投与し実験に使用した。

#### (2) HCV-TgへのrVV-N25接種方法

poly(I:C)投与後3ヶ月のHCV-TgマウスまたはNon-Tgマウスに、rVV-N25またはrVV-Emp(空のrVVベクター)を $1 \times 10^8$ PFU/50 μlでマウスに皮内接種した。

#### (3)マクロファージ枯渇実験

慢性肝炎を呈するHCV-TgマウスにおけるMacの役割を解析するために、rVV-N25接種前日および接種3日後にclodronate-liposomeを静脈内投与した。rVV-N25接種7日後に血清、肝臓、脾臓を採材した。

#### (4)抗IL-6受容体抗体によるIL-6シグナル阻害実験

抗マウスIL-6受容体ラットモノクローナル中和抗体(MR16-1)は中外製薬より分与された。MR16-1の腹腔内投与によりマウスIL-6受容体へのIL-6結合が阻害され、IL-6によるシグナルが阻害される。そこでMR16-1あるいはコントロールとしてラットIgG1をHCV-Tgマウスに0.5mg/0.1mlを7日毎に2回腹腔内投与して最終投与7日後に採材した。

#### (5)PD-1抗体とrVV-N25のコンビネーション実験

HCT-Tgマウスに3日毎に250ug/0.1mlを5回腹腔内投与し、最初のPD-1抗体投与7日後にrVV-N25を皮内投与した。rVV-N25接種28日後に採材した。

#### (6)血清の解析

心採血により全血から血清を分離し、血清中の炎症性サイトカインをBioplex(Bio-Rad)により解析した。

#### (7)肝臓の組織病理解析と評価

肝臓の組織病理解析のために、採材した肝臓はホルマリン固定後、パラフィン包埋し、薄切後にH&E染色を行った。Histology Activity Index (HAI) scoreにより肝臓の病態を数値化

する事で評価した。

#### (8)免疫染色

採材した肝臓はOCTコンパウンドで包埋凍結し、薄切後AlexaFluoro555標識CD206およびFITC標識F4/80によりM2 Macの免疫染色を行い、共焦点顕微鏡で観察した。10視野を観察し、共局在している陽性細胞をカウントして平均化した。

#### (9)FACS解析

肝臓からの白血球は、DNase I, Collagenase IV消化後にLympholyte-Mにより分離した。脾臓からはcell strainerを通して白血球を分離した。その後、recombinant IL-2 (50U/200 μ l), LPS (0.5 μ g/ml)、Golgiplug存在下で37°C、4時間刺激した。細胞内サイトカイン染色を行うためにCD16/32によりFc block後、F4/80, CD11b, CD206, CD11c, CD4, CD8抗体で細胞表面を染色した。固定後さらに細胞内サイトカイン抗体(IL-6, TNF-α)で染色して、CantoII(BD)によりFACS解析を行った。

#### (10)ELISPOT法による特異的細胞性免疫誘導能の測定

赤血球溶血処理を行ったIHLとSplenocytes ( $1 \times 10^5$ )を予めマイトイシン処理を行った刺激細胞(HCVの各遺伝子部位を過剰発現した腫瘍細胞(EL-4/emp, EL-4/CN2, EL-4/N3-4A) ( $1 \times 10^4$ )で刺激し、37 °C、5 % CO<sub>2</sub>インキュベーター中で48時間培養、HCV抗原特異的IFN-γ 產生細胞をELISPOT法により測定した。

#### (11)肝臓内ウイルス抗原の定量

凍結肝臓をRIPA buffer存在下でセラミックビーズとともに攪拌する事で肝臓組織抽出液の作製した。肝臓組織抽出液中のHCVコア蛋白質発現量は市販のHCV core ELISAアッセイキット(Xpress Bio)を用いて定量した。

#### (倫理面への配慮)

本研究では動物実験申請等の必要な委員会での承認は既に得ており、ヒトサンプル、情報等は一切用いていない。

## C. 研究結果

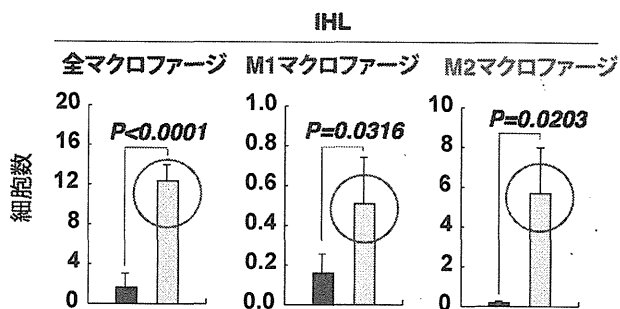
### (1) マクロファージ枯渇により HCV-Tg マウスの肝臓の病態は改善する

これまでにMacにより產生される炎症性サイトカイン(IL-6とTNF- $\alpha$ )が慢性肝炎を呈するHCV-Tgマウスにおいて病態進行に深く関与することを報告してきた。肝炎におけるMacの役割についてさらに解析するために、HCV-Tgマウスに clodronate liposomeあるいはVehicle (PBS)を4日毎に2回静脈内投与してMacを枯渇させ、同時にrVV-N25あるいはrVV-Empを皮下接種し、7日後に採材した。MΦ枯渇による血清中の炎症性サイトカインへの影響を調べたところ、clodronate liposomeを投与したマウスでは血清中のIL-6およびTNF- $\alpha$ の產生が減少した。FACSにより clodronate liposome投与後のCD11b<sup>+</sup>F4/80<sup>+</sup>肝臓内Mac数をカウントしたところ、clodronate liposome投与により約91%が減少した。rVV-N25接種群もまた肝臓内 Mac 数は減少し、clodronate liposome投与との組合せる事でさらに肝臓内Mac数が減少した。肝臓の病理学的变化をH&E染色後にHAI scoringにより評価したところ、clodronate liposome投与マウスは肝臓の病態が改善し、HAI scoreが減少した。これはMacがC型慢性肝炎に寄与することを示唆している。さらにFACS解析の結果と一致して、免疫染色でもclodronate liposome投与群ではF4/80陽性Macが減少した。

### (2) M2マクロファージはC型慢性肝炎を呈するHCV-Tgマウスの肝臓と脾臓で増加する

肝臓におけるHCV蛋白質の発現がマクロファージの極性に影響するかどうか調べるために、HCV-TgマウスとNon-Tgマウスの肝臓、脾臓におけるMΦの数、極性、炎症性サイトカイン产生について解析した。FACS解析により CD11b<sup>+</sup>F4/80<sup>+</sup>MacをCD11b<sup>+</sup>F4/80<sup>+</sup>CD11c<sup>+</sup>陽性 M1 様 マクロファージ (M1 Mac) と CD11b<sup>+</sup>F4/80<sup>+</sup>CD206<sup>+</sup>陽性M2様マクロファージ (M2 Mac) に分類し、產生されるIL-6、

TNF-a の発現を調べた。HCV-Tgマウスの肝臓ではNon-Tgマウスと比べて約3倍Mac数が増加していた。C型肝炎を呈するHCV-Tgマウス肝臓ではM2 Macが主に増加していた。



さらにNon-Tgマウスに比べてM1 Mac, M2 MacからのIL-6, TNF- $\alpha$ 产生が有意に増加していた。これまでの報告では炎症性サイトカインは主にM1 Macから产生されることが知られていたが、興味深いことにHCV-Tgマウスの肝臓では主にM2 MacがIL-6, TNF- $\alpha$ を产生していた。免疫染色の結果からもHCV-Tgマウスの肝臓ではF4/80<sup>+</sup>CD206<sup>+</sup>M2 Macの増加していたことから、IL-6, TNF- $\alpha$ 产生するM2 MacがC型慢性肝炎の進展に関与することが示唆された。

### (3) rVV-N25は肝臓内M2マクロファージの数およびサイトカイン产生を減少させる

rVV-N25はHCV-Tgマウスの肝臓において Macを減少させ、さらに肝臓の病態を正常化することを示した。M2 MacにおけるrVV-N25の効果を調べるために、rVV-N25あるいはrVV-EmpをHCV-Tgマウスに接種し、7日後の肝臓および脾臓におけるM1/M2 Mac数とサイトカイン产生を解析した。血清中のIL-6はrVV-N25接種後有意に減少した。さらに FACS解析に結果から、rVV-N25接種により HCV-Tgマウスの肝臓および脾臓のM2 Macの数およびIL-6产生が減少していた。rVV-N25接種後のHCV-Tgマウスの肝臓でのM2 Mac数の減少は、免疫染色の結果とも一致していた。これらの結果は、M2 MacがrVV-N25の治療ワクチンの標的であることを示唆し

ている。対照的に肝臓ではM1 Mac数に有意差は認められなかった。

#### (4) 抗PD-1抗体投与ではウイルス抗原特異的CD8T細胞の活性化に影響を与えない

近年、C型慢性肝炎を呈するHCV感染者ではPD-1を高発現するエフェクター機能を欠損したCD8T細胞が増加しており、このCD8T細胞が増えることでウイルスを排除できずに慢性感染が持続するT cell exhaustionと呼ばれる状態になっていることが報告されている。HCVが慢性感染したチンパンジーの実験からPD-1抗体投与により肝臓内CD4, CD8T細胞の免疫反応を回復し、非細胞傷害性にウイルスRNAを減少することが報告された。そこでHCV-TgマウスにPD-1抗体を投与し、肝臓内のT細胞免疫を回復したところで、rVV-N25を接種する事でウイルス抗原特異的なCD4, CD8T細胞の活性化とウイルス抗原の排除が促進されるどうか調べた。PD-1抗体の単独投与では肝臓の病理像の改善は認められなかつたが、rVV-N25単独およびPD-1抗体/rVV-N25の組合せで投与した時肝臓の病態が正常化した。さらに肝臓および脾臓から分離したリンパ球を、ウイルス抗原を発現するEL-4で刺激したところ、PD-1抗体単独およびPD-1抗体/rVV-N25の組み合わせでもウイルス抗原特異的なIFN- $\gamma$ 産生は見られなかつた。さらにFACS解析によりCD4T, CD8T細胞におけるT細胞活性化を調べたところ、CD4T細胞はPD-1抗体を投与により有意にIFN- $\gamma$ の産生が上昇し活性化が認められた。実際に肝臓中のウイルス抗原(core)が減少するかどうかELISA kitで定量したところ、rVV-N25およびPD-1抗体/rVV-N25の組合せのみ有意にウイルス抗原の減少が認められた。

## D. 考察

HCV感染による肝傷害と病態進行は、HCV特異的CD8T細胞を介した宿主免疫反応により進行すると考えられている。実際に強いCD8T細胞反応はHCV感染を排除した患者

で観察される。しかし我々の研究ではC型慢性肝炎は肝臓内マクロファージにより產生されるTNF- $\alpha$ , IL-6を介することが示唆された。この違いを明らかにするために、C型慢性肝炎におけるMacの役割について明らかにした。HCV-Tgマウスの肝臓および脾臓ではCD11b $^+$ F4/80 $^+$  Macが増加しており、Macを枯渇することで肝臓の病態が正常化したことから、MacがC型慢性肝炎の原因であることを結論づけた。実際にクッパー細胞由来のIL-18、TNF- $\alpha$ のレベルがHCV患者の病態と相關することが報告され、HCV感染によりIL-1 $\beta$ 、IL-18などのtype I炎症性サイトカインの産生を誘導するが、HCVにより誘導されるマクロファージの極性についてin vitro, in vivoの両方で調べた報告はこれまで殆ど無い。我々は慢性肝炎を呈するHCV-Tgマウスの肝臓ではM1 Macではなく、M2 Mac数がおよそ10倍増加しており、高レベルのTNF $\alpha$ , IL-6を產生していることを明らかにした。M2 Macは炎症の抑制や組織修復の促進に関与するので、M2 MacへのスイッチはHCVによる肝傷害を制御するための宿主の防御反応であるかもしれないが、一般的にはTNF- $\alpha$ やIL-6を产生するのはM1 Macである。IL-4, IL-10, IL-13のようなTh2サイトカインの産生については調べていないが、今回の結果からM2 Macがある条件下でTh1サイトカインを产生することが示唆された。これらの知見はM2 Macが慢性肝炎下では優位であり、Macの極性が肝臓の病態に依存して変化することを示している。最近、HBVが慢性感染したヒト化マウスモデルでも、M2 Macが優位であることが報告された。我々の実験から抗IL-6受容体に対する中和抗体の投与ではM2 Mac数に影響を与えたかった。Macに直接的IL-6シグナリングの阻害は行っていないが、M2 MacへのシフトにおけるIL-6の役割についてはさらに調べる必要がある。HCV-Tgマウスは脂肪変性を引き起すが、脂肪酸と同族受容体のPPAR $\gamma$ , PPAR $\delta$ はM2 Macの成熟を誘導する事が知られており、脂肪変

性がM2 Macの集積に関するかも知れない。データは示さないがHCV-Tgマウスの肝臓でのM2 Mac数の増加を調べるために、骨髄のCD11b<sup>+</sup>Ly-6C<sup>+</sup>陽性炎症性単球の相対率を解析したところ、HCV蛋白質の発現の有無で炎症性単球に有意な差は認められなかつたことから、M2 Macは肝臓で限局的に増加していくことが示唆された。

rVV-N25は肝臓内の炎症性サイトカインを産生するM2 Mac数を減少させるが、rVV-N25がどのように減少させるかについてはわかつていかない。rVV-N25接種後のマクロファージの減少はアポトーシスの増加によるものではないことが分かった。さらに、rVV-N25がマクロファージに感染するかどうかPCR解析したところ、ワクシニアウイルスDNAは接種した皮膚だけに存在し、マクロファージが浸潤した肝臓、脾臓では検出されなかつた。これらの結果はマクロファージの減少が、ワクチニアウイルスのマクロファージへの直接的な感染による細胞毒性ではなく、接種後の宿主免疫反応に起因していることが示唆された。C型慢性肝炎におけるM2 Mac数の増加とrVV-N25によるM2 Macの減少機序についてはさらに実験が必要とされる。

さらにrVV-N25によるウイルス抗原排除効果を上げるために、PD-1抗体による肝臓内T細胞免疫反応の活性化を試みた。HCV-Tgマウスを用いた実験から、PD-1抗体/rVV-N25との組合せによる肝臓内T細胞免疫反応の活性化は認められなかつた。PD-1抗体単独でCD4T細胞のIFN- $\gamma$ 産生が有意に上昇したが、CD8T細胞の活性化にはつながらなかつた。そのため、PD-1抗体/rVV-N25接種群はrVV-N25単独接種と比べて有意な差が認められなかつた。すなわちHCV-Tgマウスでは、PD-1抗体投与によるrVV-N25のウイルス抗原排除効果に影響しないことが示唆された。HCV感染チンパンジーの報告でも、PD-1に無反応の個体も存在することが知られており、さらにPD-1抗体の投与をやめるとウイルス

RNAが元に戻ることから、rVV-N25接種によるウイルス抗原排除効果を上げるさらなる試みが必要であると考えられる。

## E. 結論

HCV-Tgマウスの肝臓では、M1 MacでなくM2 MacがIL-6, TNF- $\alpha$ などの炎症性サイトカインを産生する事でC型慢性肝炎を呈しており、M1 Macのような機能を持つM2 Macについての初めての知見が得られた。さらにrVV-N25は、炎症性サイトカイン産生M2 Macを減少させることで肝臓の病態を改善し、治療ワクチンとしての効果を発揮することが明らかとなつた。

今後治療ワクチンの安全性を高めるために、rVV-N25のNS3プロテアーゼ、ヘリケース活性部位およびNS5BのRNA依存性RNAポリメラーゼ活性領域に変異を入れたワクチンをGMPに準拠して作製する。加えてさらなるrVV-N25の作用機序解明するため、NS2単独あるいはE1-NS5B (E1N5) を発現するrVV-HCVを作製し、治療ワクチン効果に必要な部位を決定したい。

## F. 研究発表

### 1. 論文発表

1. Yutaka Amako, Tsubasa Munakata, Michinori Kohara, Aleem Siddiqui, Chris Peers and, Mark Harris. Hepatitis C virus attenuates mitochondrial lipid  $\beta$ -oxidation by down-regulating mitochondrial trifunctional protein expression . J. Virology (2015) in press.

2. Sato S, Li K, Kameyama T, Hayashi T, Ishida Y, Murakami S, Watanabe T, Iijima S, Sakurai Y, Watashi K, Tsutsumi S, Sato Y, Akita H, Wakita T, Rice CM, Harashima H, Kohara M, Tanaka Y, Takaoka A. The RNA Sensor RIG-I Dually Functions as an Innate Sensor and Direct Antiviral Factor for Hepatitis B Virus. Immunity 2015 Jan 20;42(1):123-32.

3. Sayeh Ezzikouri, Tomohiro Nishimura, Michinori Kohara, Soumaya Benjelloun, Yoichiro Kino, Kazuaki Inoue, Akira Matsumori, Kyoko Tsukiyama-Kohara. Inhibitory Effects of Pycnogenol® on Hepatitis C Virus Replication. *Antiviral Research* 2015 Jan;113:93-102.
4. Kyoko Tsukiyama-Kohara and Michinori Kohara. *Tupaia belangeri* as an experimental animal model for viral infection. *Experimental Animals* 2014 Oct 30;63(4):367-74. Epub 2014 Jul 22.
5. Chao-Kuen Lai, Vikas Saxena, Chung-Hsin Tseng, King-Song Jeng, Michinori Kohara, and Michael M. C. Lai. Nonstructural Protein 5A Is Incorporated into Hepatitis C Virus Low-Density Particle through Interaction with Core Protein and Microtubules during Intracellular Transport. *PLoS One*. 2014; 9(6): e99022.
6. Tsubasa Munakata, Makoto Inada, Yuko Tokunaga, Takaji Wakita, Michinori Kohara, and Akio Nomoto. Suppression of hepatitis C virus replication by cyclin-dependent kinase inhibitors. *Antiviral Research* 2014 Aug;108:79-87.
7. Masaaki Arai, Kyoko Tsukiyama-Kohara, Asako Takagi, Yoshimi Tobita, Kazuaki Inoue and Michinori Kohara. Resistance to cyclosporin A derives from mutations in Hepatitis C virus nonstructural proteins. *Biochem Biophys Res Commun*. 2014 May 23;448(1):56-62.
8. Tsunamasa Watanabe, Hiroto Hatakeyama, Chiho Matsuda-Yasui, Yusuke Sato, Masayuki Sudoh, Asako Takagi, Yuichi Hirata, Takahiro Ohtsuki, Masaaki Arai, Kazuaki Inoue, Hideyoshi Harashima and Michinori Kohara. *In vivo* therapeutic potential of Dicer-hunting siRNAs targeting infectious hepatitis C virus. *Scientific Reports* 2014 Apr 23;4:4750.
9. Fumihiko Yasui, Michinori Kohara, Masahiro Kitabatake, Toru Nishiwaki, Hideki Fujii, Chise Tateno, Misako Yoneda, Kouichi Morita, Kouji Matsushima, Shigeo Koyasu, Chieko Kai. Phagocytic cells contribute to the antibody-mediated elimination of pulmonary-infected SARS coronavirus. *Virology* 454-455:157-68. (2014).
10. Sayeh Ezzikouri, Makoto Ozawa, Michinori Kohara, Naima Elmdaghri, Soumaya Benjelloun, Kyoko Tsukiyama-Kohara. Recent Insights into Hepatitis B Virus-Host Interactions. *J. Med. Virology* 86(6):925-32. doi: 10.1002/jmv.23916. Epub 2014 Mar 6. (2014).
11. Yuri Kasama, Takuo Mizukami, Hideki Kusunoki, Jan Peveling-Oberhag, Yasumasa Nishito, Makoto Ozawa, Michinori Kohara, Toshiaki Mizuochi, and Kyoko Tsukiyama-Kohara. B-cell-intrinsic Hepatitis C virus expression leads to B-cell-lymphomagenesis and induction of NF- $\kappa$ B signaling. *PLoS ONE* 9(3):e91373. doi: 10.1371/journal.pone.0091373. eCollection 2014. (2014).
12. Haru Ogiwara, Fumihiko Yasui, Keisuke Munekata, Asako Takagi-Kamiya, Tsubasa Munakata, Namiko Nomura, Futoshi Shibasaki, Kazuhiko Kuwahara, Nobuo Sakaguchi, Yoshihiro Sakoda, Hiroshi Kida and Michinori Kohara. Histopathological evaluation of the diversity of cells susceptible to H5N1 virulent avian influenza virus. *The American Journal of Pathology* 184(1):171-83 (2014).

## 2. 学会発表

1. 徳永優子、小原道法、須藤正幸: Non-DAA セリンパルミトイル基転移酵素阻害剤とDAA併用による薬剤耐性株の出現を押さえた強力なHCV複製阻害 第50回日本肝臓学会総会 2014.5.29 (東京)
2. 小原道法:「免疫の賦活化によるウイルス性肝炎治療及び肝線維症治療に向けて」 第9回高輪ウイルス肝炎フォーラム 2014.6.14 (東京) (招待講演)
3. 藤幸知子、堀江 亮、米田美佐子、倉石 武、安井文彦、宗片圭祐、池田房子、基礎友里、権賢 貞、石井美穂、佐藤宏樹、服部正策、喜田 宏、小原道法、甲斐知恵: 靈長類感染モデルを用いた高病原性鳥インフルエンザウイルス抗原発現組換え麻疹ウイルスの防御効果の解析 第61回日本実験動物学会 2014.5.15-5.17 (札幌)